

## II-7 開水路流水の乱れ計測について(第2報)

京都大学工学部 正員 工博 石原謙次郎  
京都大学大学院 正員 工修 今本博健

開水路流水における乱流現象の解明にあたって、乱れの計測はきわめて重視されているが、現在においてもまだ決定的な乱れ計測法は確立されていないといふよう。本研究は、従来、実河川などにおいて使用されてきた回転式流速計の原理に着目し、回転速度の変動から開水路流水における乱れを測定しようとしたものである。

### 1. 回転式流速計による乱れ計測の原理

流速計と流速計の回転数との間には、一般に、いかがわめてよい相関があり、つきの関係式が成立する。すなはち、

$$U = a n + b \quad , \quad n = n_i, \quad a, b: \text{const.} \quad (1)$$

従来、この式はこの定常的あるいは平均的の場合に対するものであつたが、これは非定常の場合にも成り立つと仮定する。このとき、これは流速計の回転速度に対応し、その変動から乱れを算定することができるが、その変動を測定することはきわめて困難であるため、本研究では、ある時間間隔 $\tau$ における回転数、あるいは、一回転するに要する時間から、近似的に回転速度を求めるとして、先に $n$ と表す。

(1)式において、いかがわる時間を時間の平均値 $\bar{n}$ と変動分 $n'$ とに分け、先に述べた、

$$\bar{n} = a \bar{n} + b \quad (2)$$

$$n' = a n' \quad (3)$$

とおこなうこととする。本研究では、 $n$ として時間 $\tau$ との平均回転速度 $n_c$ を用いておるから、(3)式に対応する流速の変動分 $u'_c$ は、

$$u'_c = a n'_c = \frac{a}{\tau} \int_0^\tau n' dt = \frac{1}{\tau} \int_0^\tau u' dt \quad (4)$$

となる。したがって、本方法によつて乱れを測定する場合、平均化時間 $\tau$  (=これを、測定時間 $\tau$ アーレ<sup>ト</sup>よぶ) がきわめて重要な点が、その影響はつきの通りである。

$$\overline{u'^2} = (\frac{1}{\tau} \int_0^\tau u' dt)(\frac{1}{\tau} \int_0^\tau u' dt) = \frac{2}{\tau^2} \int_0^\tau \int_0^\tau R(\tau) dt_1 dt_2 \quad (5)$$

$$\text{ただし}, \quad R(\tau) = \frac{u'_c u'_{c-\tau}}{\overline{u'^2}} \quad (6)$$

流速変動間の相関係数 $R(\tau)$ の関数形は未定であるが、その小ささとき、 $R(\tau) \approx 1$ 、その大きさとき、 $R(\tau) \approx 0$ であるから、(5)式より、

$$\tau: \text{小}, \quad \sqrt{u'^2} \approx \text{const.} (= \sqrt{u'^2}) \quad (7)$$

$$\tau: \text{大}, \quad \sqrt{u'^2} \sim \tau^{\frac{1}{2}} \quad (8)$$

となることわかる。

## 2. 実験装置および実験方法

本研究に用いた回転式流速計は、羽根の回転により生ずる機械的摩擦を小さくするため、白金極によつて回転数を知る方法をとり、これをひずみ計およびペン書きオッショロまたは電磁オッショロに接続して回転速度を測定できるようになつてゐる。

実験水路は、長さ10m、巾25cm、深さ35cmの直線水路で、側壁および底面はビニール樹脂滑面である。

乱れの測定に先立ち、(4)式の式がよいかを、数種の正および元の測定値より、最小二乗法によつて決定した。ついで、回転式流速計を水路中央部に設置し、鉛直方向における乱れの強さの分布を測定した。

## 3. 実験結果

測定時間スケールでの乱れ計測における影響は、図-1のようすに、乱れの強さ  $\frac{u_{\tau}}{u}$  は、 $\tau \rightarrow$  小のとき、一定値に近づき、 $\tau \rightarrow$  大とともに  $\tau^{\frac{1}{2}}$  に比例する傾向が見られ、(4)式を確認してゐる。Jozef Prochazka<sup>2)</sup>は、実験的研究により、乱れの強さは  $\tau^{\frac{1}{2}}$  に比例すると推定してゐるが、これはその大きさ領域における実験値より推定したものである。

乱れの測定結果の一例を図-2に示したが、この図より、乱れの強さは、従来の測定結果<sup>3), 4)</sup>と大体一致してゐる。

回転式流速計は、乱れの実体を把握するには、その大きさおよび慣性の影響のため、相当大きさは制限を受けるが、あくまでその状態は、捕えることができるところである。

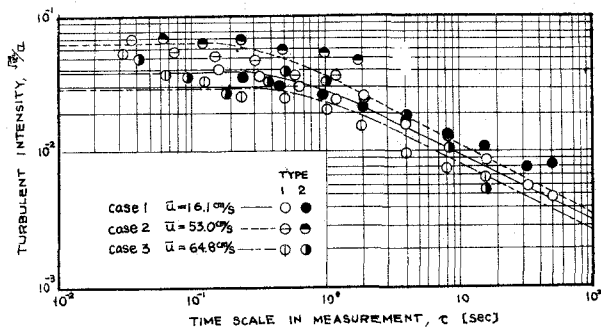


図-1 測定時間スケールでの影響 (引江参考)

## 参考文献

- 1) 畠治陽一, 風車型流速計の特性について, 九大応用研究所報, 第16号, 昭36
- 2) Jozef Prochazka, The Effect of Turbulence on Current Meter, IAHR-9th CONVENTION, 1961.
- 3) John Laufer, The Structure of Turbulence in Fully Developed Pipe Flow, NACA Rep. No. 1174, 1953.
- 4) Mikiro Hino, The Structure and Diffusion Coefficient of Turbulent Shear Flow, Tech. Labo. Central Research Institute of Electric Power Industry, Tech. Rep. C-6103, 1961.

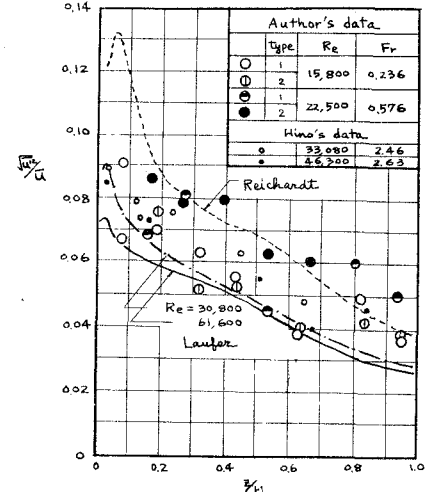


図-2 乱れの強さと相対水深との関係